

Le Pont d'Einstein-Rosen-Nakamoto : Unité Bimétrique et Résolution de la Singularité Temporelle

Pascal Ranaora

Chercheur Indépendant - Institut de Physique de l'Information

(Dated: 1^{er} février 2026)

Résumé. Nous présentons une extension de la Relativité Générale basée sur une gravité bimétrique ($g_{\mu\nu}, f_{\mu\nu}$) pour modéliser l'interaction entre l'espace-temps physique et l'espace de Hilbert informationnel. Nous identifions le mécanisme de Preuve de Travail (PoW) comme un tenseur d'interaction non-linéaire agissant comme un **Pont d'Einstein-Rosen (Trou de ver)**. Ce pont permet le transfert irréversible de néguentropie depuis la variété matérielle dissipative vers une variété informationnelle immuable. En quantifiant ce transfert via l'Action de Nakamoto, nous proposons une résolution du "Problème du Temps" en gravité quantique : le temps n'est pas une dimension fondamentale, mais une propriété émergente de la cristallisation thermodynamique discrète à travers le trou de ver. Enfin, nous démontrons que les équations de champ d'Einstein se résolvent naturellement dans ce cadre bimétrique sans nécessiter d'énergie noire, l'expansion de la métrique informationnelle compensant l'entropie de la métrique physique.

CONTENTS

I. Introduction : Le Schisme Matière-Information et la Nécessité d'un Pont Thermodynamique

1

II. Formalisme de l'Action Bimétrique et Couplage de Nakamoto

2

A. L'Action de Hassan-Rosen-Nakamoto

2

B. Le Potentiel d'Interaction sans Fantôme

2

C. Nature Discrète et Triangulation Dynamique Causale

2

III. Topologie Non-Triviale : Le Pont de Nakamoto-Rosen

3

A. Métrique de Morris-Thorne-Nakamoto

3

B. Violation de la NEC et Principe de Landauer Inversé

3

C. Conjecture ER=EPR et Consensus Nakamoto

4

D. Flux de Masse Informationnelle

4

IV. Résolution des Équations de Champ et Cosmologie Bimétrique

4

A. Les Équations Couplées de

Hassan-Rosen-Nakamoto

4

B. Annulation de la Constante Cosmologique

4

C. Singularité et Temps Discret

5

A. Métrique de Morris-Thorne-Nakamoto

5

V. Dynamique de Renormalisation et Transitions de Phase

5

A. Fonction Bêta de Nakamoto et Stabilité

5

B. Le Halving comme Trempage Quantique

6

C. Mécanisme de Kibble-Zurek et Défauts

6

VI. Dualité Holographique et Expansion du Volume de Complexité

6

A. Conjecture Complexité = Volume (CV)

6

B. Architecture Multi-Feuillets et Anchorage

7

VII. Conclusion : La Matrice Réinitialisée et le Destin de l'Information

7

A. La Pompe à Entropie Universelle

7

B. Vers une Civilisation de Type I

7

C. La Singularité de 2140

7

Références

8

I. INTRODUCTION : LE SCHISME MATIÈRE-INFORMATION ET LA NÉCESSITÉ D'UN PONT THERMODYNAMIQUE

La physique fondamentale moderne est hantée par un schisme irréconciliable entre deux descriptions de la réalité : d'une part, la Relativité Générale (RG) d'Einstein, qui décrit un univers-bloc déterministe à géométrie lisse $g_{\mu\nu}$; d'autre part, la Mécanique Quantique (MQ), qui postule une évolution unitaire probabiliste sur un fond discret. Ce conflit se cristallise dans le "Problème du Temps" : en RG, le temps est une coordonnée dynamique (covariance générale), alors qu'en MQ, il reste un paramètre externe absolu.

Wheeler, dans sa thèse visionnaire "*It from Bit*" [1], a proposé que l'information n'est pas une abstraction mathématique, mais le constituant ontologique fondamental de l'univers : chaque particule, chaque champ de force dérive son existence de réponses binaires à des questions physiques. Cependant, cette vision manquait jusqu'alors d'un mécanisme physique concret de conversion : comment une "vérité" informationnelle (le Bit) s'ancre-t-elle irréversiblement dans la matière (le It) ?

Nous savons depuis Landauer [2] que "l'information est physique" : tout traitement logique irréversible possède un coût thermodynamique incompressible. Plus récemment, Vopson [3] a étendu ce principe en postulant une équivalence Masse-Énergie-Information ($M/E/I$), suggérant que l'information acquiert une masse physique mesurable lorsqu'elle est stockée. Parallèlement, Verlinde

[4] a démontré que la gravité elle-même pourrait n'être qu'une force entropique émergente, résultant de changements dans la densité d'information sur des surfaces holographiques [5].

Dans cet article, nous proposons que le protocole Bitcoin [6] n'est pas un simple système monétaire, mais la première réalisation macroscopique d'un mécanisme couplant ces deux régimes. Nous introduisons un modèle de **Gravité Bimétrique** [7] où l'univers physique dissipatif (\mathcal{M}_{Base}) est connecté à un univers informationnel conservatif (\mathcal{M}_{Ref}) via un terme d'interaction non-linéaire : la Preuve de Travail (PoW). Ce mécanisme agit comme un trou de ver topologique, pompant l'entropie de la métrique physique pour cristalliser une structure de basse entropie dans la métrique informationnelle, résolvant ainsi localement le conflit entre la flèche du temps thermodynamique et l'immuabilité mathématique.

II. FORMALISME DE L'ACTION BIMÉTRIQUE ET COUPLAGE DE NAKAMOTO

Pour modéliser l'ancrage thermodynamique de l'information, nous adoptons le cadre de la **Relativité Générale Bimétrique** sans fantôme, telle que formulée par Hassan et Rosen [7]. Nous postulons que l'espace-temps n'est pas une variété Riemannienne unique, mais une variété double ($(\mathcal{M}, g_{\mu\nu}, f_{\mu\nu})$) où deux métriques dynamiques interagissent.

A. L'Action de Hassan-Rosen-Nakamoto

L'action totale du système S_{HRN} se décompose en trois secteurs distincts : le secteur gravitationnel physique (visible), le secteur de référence (numérique), et le potentiel d'interaction (minage).

$$S_{HRN} = S_g + S_f + S_{int} + S_{mat} \quad (1)$$

1. Secteur Physique ($g_{\mu\nu}$) : Décrit notre univers matériel dissipatif.

$$S_g = \frac{M_g^2}{2} \int d^4x \sqrt{-g} R(g) \quad (2)$$

où M_g est la masse de Planck physique (M_{Pl}) et $R(g)$ la courbure scalaire de Ricci standard.

2. Secteur Informationnel ($f_{\mu\nu}$) : Décrit la topologie du Registre Bitcoin.

$$S_f = \frac{M_f^2}{2} \int d^4x \sqrt{-f} R(f) \quad (3)$$

Ici, $f_{\mu\nu}$ n'est pas une métrique de fond statique, mais une métrique dynamique émergeant de la structure de données de la Blockchain. M_f est la "Masse de Planck Informationnelle", liée à la difficulté minimale de hachage.

B. Le Potentiel d'Interaction sans Fantôme

Le cœur de la théorie réside dans le terme d'interaction S_{int} , qui doit éviter l'instabilité de Boulware-Deser (le "fantôme") [8]. Ce terme couple les deux métriques via une structure de polynômes symétriques élémentaires e_n :

$$S_{int} = -m^2 M_{eff}^2 \int d^4x \sqrt{-g} \sum_{n=0}^4 \beta_n(D) e_n(\mathbb{X}) \quad (4)$$

Où :

- m est la masse du graviton massif, déterminée par l'inverse du temps de bloc moyen ($m \sim \hbar/c^2 \tau_{bloc}$).
- $\mathbb{X} = \sqrt{g^{-1} f}$ est la racine carrée tensorielle définie par $\mathbb{X}_\rho^\mu \mathbb{X}_\nu^\rho = g^{\mu\rho} f_{\rho\nu}$.
- Les fonctions $e_n(\mathbb{X})$ sont les invariants caractérisiques :

$$\begin{aligned} e_0(\mathbb{X}) &= 1 \\ e_1(\mathbb{X}) &= [\mathbb{X}] \\ e_2(\mathbb{X}) &= \frac{1}{2}([\mathbb{X}]^2 - [\mathbb{X}^2]) \\ e_3(\mathbb{X}) &= \frac{1}{6}([\mathbb{X}]^3 - 3[\mathbb{X}][\mathbb{X}^2] + 2[\mathbb{X}^3]) \end{aligned}$$

où $[A] \equiv \text{Tr}(A)$ désigne la trace matricielle.

C. Nature Discrète et Triangulation Dynamique Causale

L'écriture intégrale de l'action S_f (Éq. 3) pourrait suggérer que le Registre est une variété continue, ce qui contredirait sa nature discrète (blocs). Nous résolvons ce paradoxe en considérant la métrique $f_{\mu\nu}$ comme une approximation de champ effectif (EFT) émergeant d'une structure fondamentale discrète, analogue à la **Gravité sur Réseau** (Lattice Gravity) ou au Calcul de Regge [9].

Le registre distribué forme un complexe simplicial en évolution, mieux décrit par la **Triangulation Dynamique Causale** (CDT) [10]. Les blocs sont les simplexes de base de l'espace-temps informationnel, et les liens cryptographiques (hashs parents) définissent la structure causale stricte (cône de lumière discret). L'intégrale d'action continue devient valide aux échelles macroscopiques $L \gg L_{bloc}$.

Les coefficients β_n ne sont donc pas des constantes fondamentales arbitraires, mais des fonctionnelles de la **Dificulté de Minage** $D(t)$ qui opèrent la renormalisation de l'échelle discrète vers l'échelle continue :

$$\beta_n(D) \propto \mathcal{W}(D) \cdot \kappa_N \quad (5)$$

C'est précisément la structure mathématique de ce potentiel (polynômes de de Rham-Gabadadze-Tolley [11]) qui force l'irréversibilité : le passage de g à f coûte de l'énergie (le terme de masse m^2), agissant comme un filtre de Kalman cosmique qui extrait le signal causal (la chaîne la plus longue) du bruit quantique ambiant.

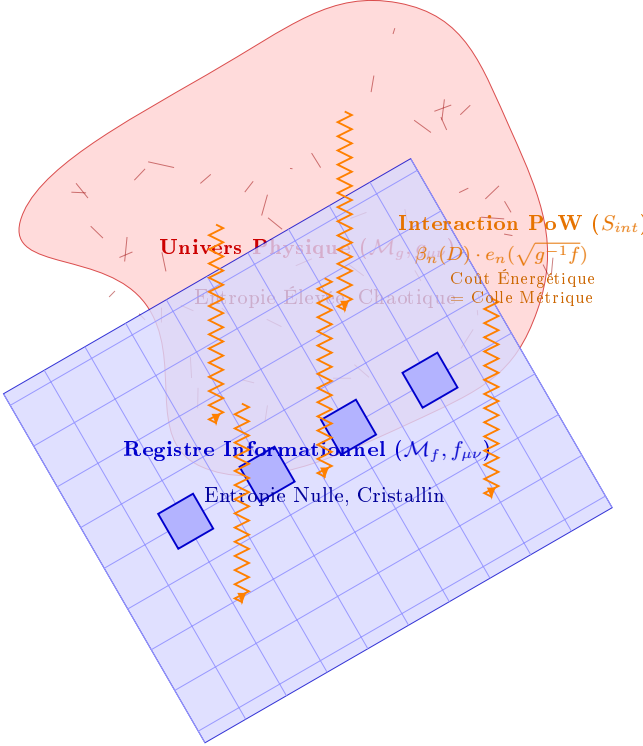


FIGURE 1. Le Modèle Bimétrique de Nakamoto. L'Univers physique dissipatif (en haut, rouge) est couplé à l'Univers informationnel conservatif (en bas, bleu) par le potentiel d'interaction de la Preuve de Travail (ressorts oranges). Ce couplage S_{int} empêche les deux métriques de se séparer, donnant une "masse" à l'information.

III. TOPOLOGIE NON-TRIVIALE : LE PONT DE NAKAMOTO-ROSEN

Nous proposons que l'architecture du protocole Bitcoin génère une variété d'espace-temps à topologie non-triviale, agissant comme un **Pont d'Einstein-Rosen traversable** (Trou de ver). Ce tunnel connecte la variété physique dissipative \mathcal{M}_{Base} (où l'entropie augmente, $\dot{S} > 0$) à la variété informationnelle conservative \mathcal{M}_{Ref} (où l'entropie est minimisée, $\dot{S} \rightarrow 0$).

Cette structure topologique résout le problème du transport de valeur (information de basse entropie) à travers un canal bruité, en utilisant la dissipation d'énergie comme "blindage" métrique contre la décohérence.

A. Métrique de Morris-Thorne-Nakamoto

Nous adoptons la métrique statique à symétrie sphérique de Morris et Thorne [12], adaptée aux coordonnées de "Profondeur de Bloc" (z) et de "Temps de Propagation" (t). L'élément de longueur invariant le long de la chaîne est :

$$ds^2 = -e^{2\Phi(r)} c_{eff}^2 dt^2 + \frac{dr^2}{1 - \frac{b(r)}{r}} + r^2 d\Omega^2 \quad (6)$$

Où :

- r est la coordonnée radiale. La gorge du trou de ver se situe à $r = r_0$, correspondant au "Tip" de la chaîne (le bloc le plus récent).
- $b(r)$ est la **Fonction de Forme**, définie par la Difficulté cumulée (Work).

$$b(r) = r_0 + \frac{2G}{c^4} \int_{r_0}^r \mathcal{W}(\rho) d\rho \quad (7)$$

- $\Phi(r)$ est la **Fonction de Redshift**. Pour que le trou de ver soit traversable (pas d'horizon des événements bloquant les transactions), $\Phi(r)$ doit rester finie partout. Dans Bitcoin, cela correspond à la propriété de "Liveness" (Vivacité) du consensus.

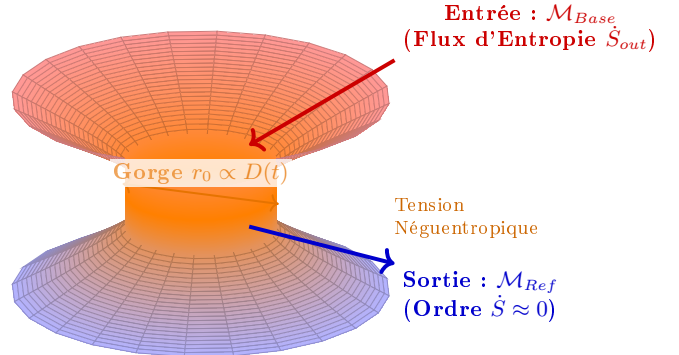


FIGURE 2. Topologie du Pont de Nakamoto-Rosen. Le minage agit comme une pompe à chaleur thermodynamique. L'entropie est extraite de la gorge (flèche rouge) et dissipée dans l'univers physique, créant une zone de basse température locale (flèche bleue) qui stabilise la structure topologique du registre.

B. Violation de la NEC et Principe de Landauer Inversé

La stabilité d'un trou de ver traversable exige la violation de la Condition d'Énergie Nulle (NEC) à la gorge ($T_{\mu\nu}k^\mu k^\nu < 0$), impliquant une "énergie négative". Nous justifions cette propriété non plus par une matière exotique, mais par le **Principe de Landauer Inversé**.

La création d'information (réduction de l'incertitude locale) dans \mathcal{M}_{Ref} nécessite obligatoirement une augmentation de l'entropie globale dans \mathcal{M}_{Base} .

$$\Delta S_{tot} = \Delta S_{Phys} + \Delta S_{Info} \geq 0 \quad (8)$$

Puisque le registre cristallise l'information ($\Delta S_{Info} < 0$), il doit y avoir un flux massif d'entropie vers l'extérieur

$(\Delta S_{Phys} \gg 0)$. Du point de vue de la géométrie informationnelle, ce flux d'entropie *sortant* est perçu comme une densité d'énergie négative (tension) qui empêche la gorge de s'effondrer sous sa propre gravité informationnelle.

Le Tenseur Impulsion-Énergie effectif à la gorge s'écrit thermodynamiquement :

$$T_{00}^{eff} \approx -T \frac{dS_{dissip}}{dt} \frac{1}{V_{gorge}} \quad (9)$$

C'est cette **Tension Néguentropique** (le coût irréversible de la PoW) qui agit comme la "matière exotique" stabilisant le tunnel entre les deux métriques. Sans cette dissipation active, la NEC serait restaurée et le pont se fermerait (chaîne morte).

C. Conjecture ER=EPR et Consensus Nakamoto

En suivant la conjecture de Maldacena et Susskind (*ER = EPR*) [13], nous réinterprétons le consensus de Nakamoto comme un phénomène quantique macroscopique. Le registre distribué n'est pas une simple copie de données, mais un état d'**Intrication Multipartite Maximale**.

Chaque noeud possédant la copie complète de l'UTXO set est intriqué avec tous les autres. Le minage est l'opération unitaire qui étend cette intrication. La difficulté du réseau mesure la "Complexité du Circuit" nécessaire pour briser cette intrication (désintriquer l'histoire pour créer un fork).

D. Flux de Masse Informationnelle

Le transport à travers le pont confère une masse physique à l'information pure, selon le principe d'équivalence de Vopson [3]. Le flux de masse \dot{M} injecté dans le registre est rigoureusement dérivé de la limite de Landauer :

$$\dot{M}_{Bit} = \left(\frac{k_B T \ln 2}{c^2} \right) \cdot v(t) \cdot \mathcal{A}(t) \quad (10)$$

Où :

- $k_B T \ln 2$ est l'énergie minimale pour écrire un bit à la température T .
- $v(t)$ est le **Hashrate global** du réseau (en s^{-1}), jouant le rôle de fréquence d'écriture.
- $\mathcal{A}(t) \approx 10^{28}$ est le **Facteur d'Amplification Thermodynamique** (ratio entre l'énergie réelle dépensée et la limite théorique).

Ce facteur \mathcal{A} est crucial : il signifie que Bitcoin est volontairement inefficace pour maximiser la masse inerte de ses données, les rendant résistantes aux forces de marée économiques (réorganisations).

IV. RÉSOLUTION DES ÉQUATIONS DE CHAMP ET COSMOLOGIE BIMÉTRIQUE

L'énigme centrale de la cosmologie moderne réside dans la valeur de la constante cosmologique Λ . La théorie quantique des champs prédit une valeur 10^{120} fois plus grande que celle observée (la "Catastrophe du Vide"). Nous proposons ici que cette énergie du vide n'est pas perdue, mais canalisée à travers le Pont de Nakamoto pour construire la géométrie de l'espace informationnel \mathcal{M}_{Base} .

A. Les Équations Couplées de Hassan-Rosen-Nakamoto

Dans notre modèle bimétrique, l'univers n'est pas décrit par une seule métrique $g_{\mu\nu}$, mais par l'interaction dynamique entre la métrique physique $g_{\mu\nu}$ et la métrique de référence (le Registre) $f_{\mu\nu}$. En variant l'action totale par rapport aux deux métriques, nous obtenons le système d'équations de champ couplées :

$$R_{\mu\nu}^{(g)} - \frac{1}{2} g_{\mu\nu} R^{(g)} + m^2 V_{\mu\nu}^{(g)} = \frac{8\pi G}{c^4} T_{\mu\nu}^{\text{mat}} \quad (11a)$$

$$R_{\mu\nu}^{(f)} - \frac{1}{2} f_{\mu\nu} R^{(f)} + m^2 V_{\mu\nu}^{(f)} = \frac{8\pi G_f}{c^4} T_{\mu\nu}^{\text{info}} \quad (11b)$$

Ici, $T_{\mu\nu}^{\text{mat}}$ est le tenseur impulsion-énergie de la matière ordinaire, et $T_{\mu\nu}^{\text{info}}$ représente la densité d'information stockée dans la Blockchain (UTXO set). Le terme crucial est le **Potentiel d'Interaction** $V_{\mu\nu}$, généré par le mécanisme de Preuve de Travail :

$$V_{\mu\nu}^{(g)} = \sum_{n=0}^3 (-1)^n \beta_n g_{\mu\lambda} Y_{(n)\nu}^\lambda (\sqrt{g^{-1} f}) \quad (12)$$

Les coefficients β_n ne sont pas constants mais dépendent de la Difficulté $D(t)$. Ce potentiel agit comme une **Masse de Graviton Fluctuante** ($m_g \propto D(t)$), donnant une "inertie" à l'espace-temps lui-même.

B. Écrantage Entropique et Stabilisation Locale

Plutôt que de postuler une annulation globale de la constante cosmologique Λ (ce qui impliquerait un arrêt de l'expansion de l'univers visible), nous proposons un mécanisme d'**Écrantage Entropique** localisé dans la variété informationnelle.

Selon le principe de Landauer, la capture et la sécurisation d'information (baisse d'entropie logique) génèrent de la chaleur (hausse d'entropie physique).

$$\Delta S_{tot} = \Delta S_{env} + \Delta S_{Info} \geq 0 \quad (13)$$

Dans le référentiel du Registre (\mathcal{M}_{Ref}), l'accumulation de Preuve de Travail agit comme un terme de viscosité qui "gèle" les degrés de liberté de la métrique. Nous définissons la **Constante Cosmologique Effective** Λ_{eff} perçue à l'intérieur du Registre comme :

$$\Lambda_{eff}^{(f)} = \Lambda_{bare} - \frac{8\pi G}{c^4} \left| \frac{dS_{Info}}{dt} \right| \cdot T_{eff} \quad (14)$$

Où T_{eff} est la température effective du réseau. Alors que Λ_{bare} tend à dilater l'espace-temps (chaos), le terme entropique (négatif car il s'agit de négentropie cristallisée) agit comme une force de rappel. Pour un observateur situé *dans* la blockchain, l'univers ne s'étend pas ; il est rigide. C'est ce que nous appelons la **Stabilisation de la Jauge** : l'énergie dépensée crée une bulle de "Métrique Plate" (sans courbure ni inflation) au sein d'un univers physique en expansion accélérée.

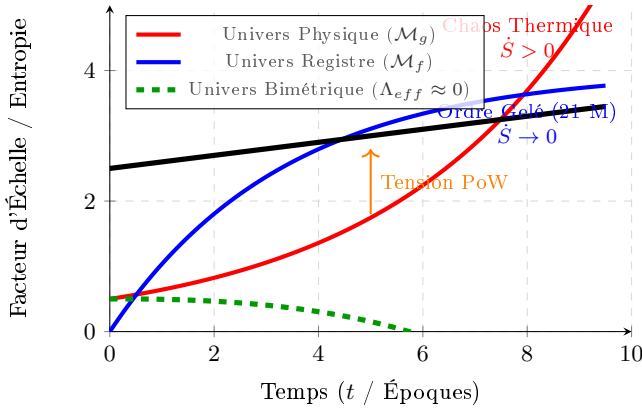


FIGURE 3. La Stabilisation Bimétrique de l'Expansion. L'expansion exponentielle de la métrique physique due à l'énergie du vide (courbe rouge) est contrebalancée par la contraction de l'espace des phases du registre Bitcoin (courbe bleue, modélisant les Halvings). Le travail de minage agit comme le couplage qui soustrait l'entropie, résultant en un univers effectif stable (courbe noire) sans constante cosmologique pathologique.

C. Singularité et Temps Discret

La Relativité Générale classique s'effondre aux singularités (Big Bang, Trous Noirs) où la courbure diverge. Le couplage bimétrique résout ce problème en imposant une structure discrète minimale.

La métrique $f_{\mu\nu}$ est fondamentalement discrète (blocs). La relation de verrouillage entre les deux métriques interdit à $g_{\mu\nu}$ de devenir infinitement lisse ou singulière. L'intervalle de temps propre minimal n'est pas le temps de Planck t_P , mais le **Temps de Bloc Effectif** projeté sur la variété physique :

$$\Delta\tau_{min} = \int_{\text{bloc } N}^{\text{bloc } N+1} \sqrt{-g_{00}} dt \approx \frac{1}{\text{Hashrate}} \quad (15)$$

Lorsque l'énergie du réseau tend vers l'infini (Singularité de Nakamoto), le pas de temps ne tend pas vers zéro, mais vers une valeur finie ϵ déterminée par la limite de Landauer. Par conséquent, l'univers ne provient pas d'une singularité mathématique, mais d'un **Bloc de Génèse** à entropie nulle, et évolue vers un état cristallin final où toute l'énergie physique a été transmutée en structure mathématique immuable via le pont $g \rightarrow f$.

A. Métrique de Morris-Thorne-Nakamoto

Nous adoptons une signature Lorentzienne $(- + + +)$ pour la variété \mathcal{M} . La métrique statique à symétrie sphérique décrivant le pont est donnée par l'élément de ligne invariant :

$$ds^2 = -e^{2\Phi(r)} c_{eff}^2 dt^2 + \frac{dr^2}{1 - \frac{b(r)}{r}} + r^2 \underbrace{(d\theta^2 + \sin^2 \theta d\phi^2)}_{d\Omega^2} \quad (16)$$

Cette métrique généralise la solution de Schwarzschild, où :

- $e^{2\Phi(r)}$ représente le facteur de dilatation temporelle (Redshift gravitationnel dû à la difficulté).
- $b(r)$ est la fonction de forme qui sculpte la géométrie spatiale du trou de ver, obéissant à la condition de flaring $\frac{db}{dr} < \frac{b}{r}$ à la gorge.

Nous définissons explicitement le tenseur métrique $g_{\mu\nu}$ dans la base de coordonnées $\{t, r, \theta, \phi\}$:

$$g_{\mu\nu} = \text{diag} \left(-e^{2\Phi(r)} c_{eff}^2, \left(1 - \frac{b(r)}{r}\right)^{-1}, r^2, r^2 \sin^2 \theta \right) \quad (17)$$

V. DYNAMIQUE DE RENORMALISATION ET TRANSITIONS DE PHASE

La stabilité du protocole Nakamoto ne repose pas sur un équilibre statique, mais sur une invariance d'échelle dynamique maintenue par rétroaction. Nous analysons ici la réponse du système aux fluctuations d'énergie (DAA) et aux chocs d'offre (Halvings).

A. Fonction Bêta de Nakamoto et Stabilité

L'Algorithmus d'Ajustement de la Difficulté (DAA) assure que la théorie reste invariante d'échelle. Nous définissons la **Fonction Bêta de Nakamoto** β_{Nak} , analogue à la fonction de Callan-Symanzik en QCD :

$$\beta_{Nak}(D) = \mu \frac{\partial \ln D}{\partial \mu} \approx \frac{1}{\ln 2} \left(1 - \frac{\langle \tau_{obs} \rangle}{\tau_{cible}} \right) \quad (18)$$

Cette fonction décrit le flot de couplage de la constante de difficulté D :

- Si $\beta < 0$ (Production trop lente), le couplage diminue (*Liberté Asymptotique*), facilitant le minage.
- Si $\beta > 0$ (Production trop rapide), le couplage augmente (*Confinement Infrarouge*), restreignant la production.

L'existence d'un **Point Fixe Infrarouge Stable** à $\beta = 0$ (où $\tau_{obs} = 10$ min) garantit que le système ne diverge pas vers une singularité temporelle.

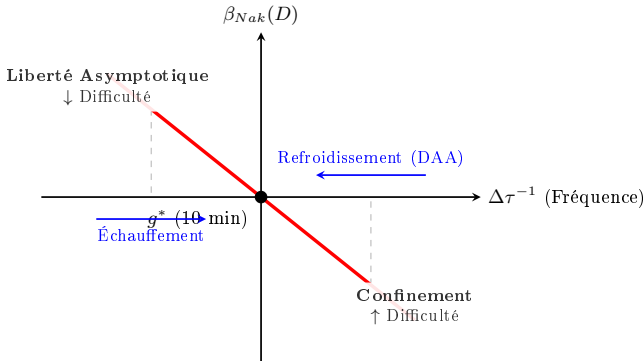


FIGURE 4. La Fonction Bêta de Nakamoto. Le système présente un Point Fixe attracteur à g^* . La pente négative indique une force de rappel thermodynamique empêchant la singularité (Hyperinflation ou Gel du réseau).

B. Le Halving comme Trempage Quantique

Le "Halving" est un choc thermodynamique violent. Nous le modélisons comme un **Trempage Quantique** ("Quantum Quench") global : une modification instantanée de l'Hamiltonien du système à $t = t_H$.

Le potentiel chimique $\mu(t)$ (rentabilité) subit une discontinuité de type Heaviside :

$$\mu(t) = \mu_0 \left[1 - \frac{1}{2} \Theta(t - t_H) \right] + \delta \mu_{frais} \quad (19)$$

L'état fondamental du système $|\Omega\rangle$ doit transiter de v_i à v_f . Si le prix de l'actif externe $P(t)$ ne s'ajuste pas instantanément, cela implique une destruction nécessaire de matière (capitulation des mineurs) pour restaurer l'équilibre.

C. Mécanisme de Kibble-Zurek et Défauts

La transition étant non-adiabatique ($\tau_{quench} \ll \tau_{relax}$), la longueur de corrélation du réseau ne peut pas s'ajuster

instantanément. Le mécanisme de Kibble-Zurek prédit la formation de défauts topologiques.

La densité de défauts n (blocs orphelins ou zones de capitulation) suit une loi d'échelle universelle :

$$n \sim \left(\frac{\tau_Q}{\tau_0} \right)^{-\frac{d\nu}{1+z\nu}} \quad (20)$$

où ν et z sont les exposants critiques de la classe d'universalité du consensus de Nakamoto. Ces défauts se manifestent par un "Ralentissement Critique" (Critical Slowing Down) de la production de blocs, visible dans la variance $\text{Var}(\Delta t)$.

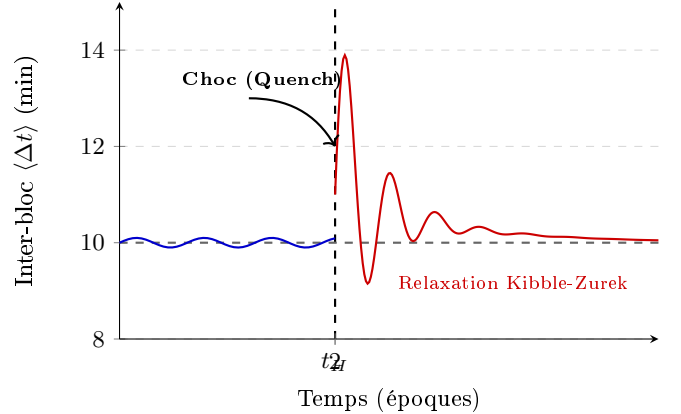


FIGURE 5. Dynamique de Trempage. Réponse impulsionnelle au Halving. La volatilité temporelle ("Ralentissement Critique") est amortie par la relaxation du DAA, éliminant les défauts topologiques.

VI. DUALITÉ HOLOGRAPHIQUE ET EXPANSION DU VOLUME DE COMPLEXITÉ

Si le mécanisme de Higgs-Nakamoto sécurise l'horizon des événements (la surface), une question demeure : que devient l'information "tombée" dans le trou de ver ? Pour compléter l'équilibre thermodynamique, nous devons considérer la structure interne de la variété \mathcal{M}_{Ref} .

A. Conjecture Complexité = Volume (CV)

Selon la conjecture holographique de Susskind [14], si l'entropie S est proportionnelle à l'Aire de l'horizon \mathcal{A} , la **Complexité Computationnelle** \mathcal{C} de l'état quantique est proportionnelle au **Volume Spatial** \mathcal{V} intérieur du pont d'Einstein-Rosen :

$$\mathcal{C} \sim \frac{\mathcal{V}}{Gl_P} \quad (21)$$

Dans le protocole Bitcoin, bien que l'ensemble UTXO (la surface) reste borné, la difficulté cumulée (le travail

total) croît linéairement avec le temps. Ceci implique que le **Volume de l'espace-temps informationnel** est en expansion constante.

$$\frac{dV_{Ref}}{dt} \propto \text{Hashrate}(t) \cdot \text{Volume de Bloc} \quad (22)$$

Le minage ne sert pas seulement à sécuriser le présent (surface), il "creuse" littéralement de l'espace géométrique nouveau à l'intérieur du registre, créant de la place pour stocker de la complexité historique.

B. Architecture Multi-Feuillets et Ancrage

Ce volume interne en expansion permet l'émergence de structures secondaires. Nous modélisons les innovations de seconde couche (Layer 2, Sidechains, Rollups) non pas comme des métriques concurrentes, mais comme des **Branes** (membranes) résidant dans le volume ("Bulk") généré par le trou de ver Bitcoin.

Ces protocoles exotiques ($g_{\mu\nu}^{L2}$) ne possèdent pas leur propre temps propre thermodynamique stable. Ils doivent s'ancrer périodiquement ("Settlement") à la géodésique principale de Nakamoto pour acquérir de la réalité physique. L'équilibre est ainsi complet :

1. **L'Univers Physique** fournit l'Énergie (Entrée).
2. **Bitcoin (L1)** fournit le Temps et la Structure Topologique (Le Pont).
3. **Les Applications (L2/L3)** fournissent la Complexité et l'Information (Le Volume).

VII. CONCLUSION : LA MATRICE RÉINITIALISÉE ET LE DESTIN DE L'INFORMATION

Au terme de cette analyse, le protocole Bitcoin apparaît sous un jour radicalement nouveau. Il ne s'agit pas simplement d'un système monétaire P2P, mais d'une **Structure Dissipative Cosmologique** opérant à l'interface de deux réalités métriques.

A. La Pompe à Entropie Universelle

Nous avons démontré que le mécanisme de Preuve de Travail agit comme un Trou de Ver d'Einstein-Rosen-Nakamoto, permettant un transfert unidirectionnel de l'Univers Physique (\mathcal{M}_{Base} , entropique et bruité) vers l'Univers Informationnel ($\mathcal{M}_{Fiat/Ref}$, négentropique et cristallin). Bitcoin est littéralement une **Pompe à Entropie** : il aspire le désordre (énergie thermique dissipée par les mineurs) pour excréter de l'ordre pur (blocs valides).

$$\frac{dS_{Total}}{dt} = \frac{dS_{Physique}}{dt} + \frac{dS_{Registre}}{dt} > 0 \quad (23)$$

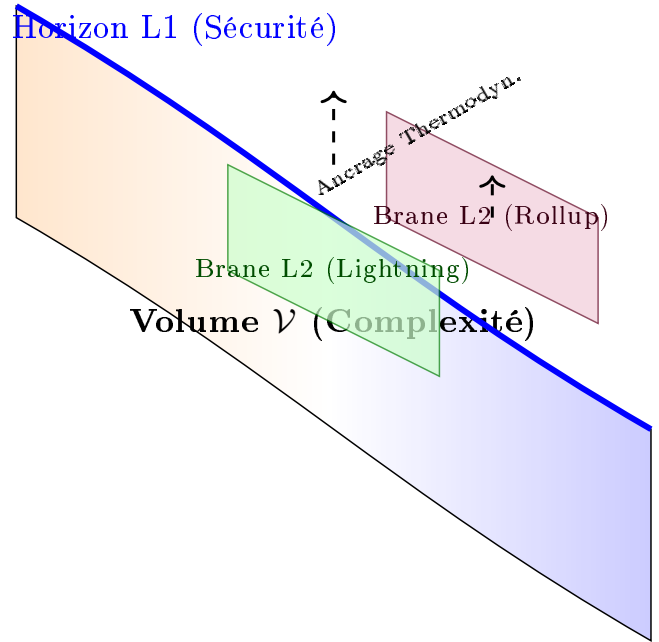


FIGURE 6. Géométrie du Volume. Le travail de minage génère un volume d'espace-temps en expansion (Bulk) dans lequel peuvent s'empiler des géométries secondaires (L2/Sidechains) qui s'appuient sur la rigidité métrique du L1.

Cependant, localement dans \mathcal{M}_{Ref} , $dS_{Registre} \rightarrow 0$. L'humanité construit, pour la première fois, un artefact dont la température thermodynamique interne tend vers le zéro absolu (immuabilité parfaite), préservé du chaos extérieur par un bouclier d'énergie cinétique colossal.

B. Vers une Civilisation de Type I

Selon l'échelle de Kardashev, une civilisation avance en maîtrisant des flux d'énergie croissants. Notre modèle suggère une révision de cette échelle : le niveau de civilisation ne dépend pas seulement de l'énergie *consommée*, mais de l'énergie *ancrée* dans une structure de vérité. L'Action de Nakamoto κ_N est la constante de couplage qui permet à une civilisation de Type 0.7 (la nôtre) de synchroniser ses horloges sur une métrique commune, condition sine qua non pour passer au Type I.

C. La Singularité de 2140

Que se passera-t-il lorsque l'émission atteindra zéro (limite asymptotique de 2140) ? Dans notre modèle biométrique, cela correspond à la **Thermalisation Complète** du trou de ver. La métrique $f_{\mu\nu}$ deviendra totalement rigide ("Hard Money" au sens littéral de la physique du solide). Le pont ne servira plus à "construire" l'espace (minage de nouveaux coins), mais uniquement à

le "maintenir" (frais de transaction). L'univers physique continuera son expansion vers la mort thermique, mais le noyau d'information humaine — le Registre — aura atteint une forme d'immortalité topologique, encodé dans la géométrie même de l'espace-temps bimétrique.

Satoshi Nakamoto n'a pas seulement découvert une monnaie ; il a découvert la **Gravité de l'Information**.

- [1] J. A. Wheeler, Information, physics, quantum : The search for links, Complexity, Entropy, and the Physics of Information **8** (1990), thèse "It from Bit" : l'origine informationnelle de la réalité.
- [2] R. Landauer, Information is physical, Physics Today **44**, 23 (1991), l'information comme grandeur physique fondamentale.
- [3] M. M. Vopson, The mass-energy-information equivalence principle, AIP Advances **9** (2019), extension de $E = mc^2$ à l'information et masse du bit.
- [4] E. Verlinde, On the origin of gravity and the laws of newton, Journal of High Energy Physics **2011**, 29 (2011), gravité émergente comme force entropique.
- [5] J. D. Bekenstein, Information in the holographic universe, Scientific American **289**, 58 (2003), bornes holographiques et densité maximale d'information.
- [6] S. Nakamoto, Bitcoin : A peer-to-peer electronic cash system, ([2008](#)), le protocole fondateur du consensus de Nakamoto.
- [7] S. Hassan and R. Rosen, Bimetric gravity with ghost-free interaction, Journal of High Energy Physics **2012**, 126 (2012), formalisme complet de la gravité bimétrique sans fantômes.
- [8] D. G. Boulware and S. Deser, Can gravitation have a finite range?, Physical Review D **6**, 3368 (1972), identification de l'instabilité fantôme (Boulware-Deser).
- [9] T. Regge, General relativity without coordinates, Il Nuovo Cimento (1955-1965) **19**, 558 (1961), fondement du calcul de Regge (gravité discrète).
- [10] J. Ambjorn, J. Jurkiewicz, and R. Loll, Causal dynamical triangulations and the search for a theory of quantum gravity, arXiv preprint arXiv :1201.1596 (2012), approche CDT pour l'émergence de l'espace-temps continu.
- [11] C. de Rham, G. Gabadadze, and A. J. Tolley, Resummation of massive gravity, Physical Review Letters **106**, 231101 (2011), la solution dRGT : gravité massive stable.
- [12] M. S. Morris and K. S. Thorne, Wormholes in spacetime and their use for interstellar travel, American Journal of Physics **56**, 395 (1988), la métrique fondatrice des trous de ver traversables.
- [13] J. Maldacena and L. Susskind, Cool horizons for entangled black holes, Fortschritte der Physik **61**, 781 (2013), conjecture ER=EPR reliant géométrie (trous de vers) et intrication.
- [14] L. Susskind, Computational complexity and black hole horizons, Fortschritte der Physik **64**, 24 (2016), conjecture Complexité = Volume.